

ЭЛЕКТРИЧЕСКИЕ  
И МАГНИТНЫЕ СВОЙСТВА

УДК 537.638.5

КВАДРУПОЛЬНОЕ УПОРЯДОЧЕНИЕ  
И ОБРАТНЫЙ МАГНИТОКАЛОРИЧЕСКИЙ ЭФФЕКТ  
В МАГНЕТИКЕ С БИКВАДРАТИЧНЫМ ОБМЕНОМ И СПИНОМ  $S = 1$

© 2022 г. Е. Е. Кокорина<sup>а</sup>, \*, М. В. Медведев<sup>а</sup>

<sup>а</sup>Институт электрофизики УрО РАН, Амурдсена, 106, Екатеринбург, 620016 Россия

\*e-mail: kokorina@ier.uran.ru

Поступила в редакцию 30.05.2022 г.

После доработки 27.06.2022 г.

Принята к публикации 30.06.2022 г.

Исследованы условия возникновения одноосного квадрупольного порядка и его поведение во внешнем магнитном поле в кубическом магнетике с билинейным и биквадратичным обменом и спином  $S = 1$ . Показано, что спонтанный одноосный квадрупольный порядок возникает из парамагнитного состояния путем фазового перехода I рода по температуре, и изотермическое намагничивание квадрупольного состояния сопровождается фазовым переходом I рода по полю от квадрупольного состояния со слабой намагниченностью к ферромагнитному состоянию с сильной намагниченностью. Магнитная энтропия квадрупольного состояния при намагничивании в невысоких полях плавно увеличивается с ростом поля, а последующий скачок намагниченности в критическом поле перехода I рода также приводит к скачку с резким увеличением магнитной энтропии (обратный магнитокалорический эффект).

*Ключевые слова:* биквадратичный обмен, одноосное квадрупольное упорядочение, обратный магнитокалорический эффект

DOI: 10.31857/S0015323022090066

1. ВВЕДЕНИЕ

Биквадратичное обменное взаимодействие вида  $-K(\mathbf{S}_1 \cdot \mathbf{S}_2)^2$  в магнетиках с величиной спинов  $S \geq 1$  было подробно исследовано Андерсоном [1] и Хуангом и Орбахом [2]. К настоящему времени получено достаточно много экспериментальных свидетельств существования биквадратичного обмена (см. обзор [3]), а для некоторых веществ (например, для ОЦК-железа [4]) проведены первопринципные вычисления параметра  $K$  биквадратичного обмена.

Наличие биквадратичного обмена существенно влияет на характер полевого и температурного поведения магнетиков. При этом особенно интересно то, что при определенных соотношениях знаков и величин параметра  $I$  билинейного обмена  $-I(\mathbf{S}_1 \cdot \mathbf{S}_2)$  и параметра  $K$  биквадратичного обмена в магнетике может возникнуть магнитное квадрупольное упорядочение [5, 6].

Квадрупольное упорядочение характеризуется тем, что при всех температурах, включая  $T = 0$ , термодинамические средние значения проекций дипольных спиновых операторов равны нулю  $\langle S_{\alpha n} \rangle_{\alpha=X,Y,Z} = 0$  для любого узла  $n$  магнитной ре-

шетки. В то же время в магнетике ниже определенной температуры возникают ненулевые термодинамические средние значения квадрупольных спиновых операторов, которые определяются как [6, 7]:

$$\begin{aligned} Q_{0n} &= 3S_{Zn}^2 - S(S+1), \quad Q_{2n} = S_{Xn}^2 - S_{Yn}^2, \\ Q_{\alpha\gamma,n} &= S_{\alpha n}S_{\gamma n} + S_{\gamma n}S_{\alpha n}, \quad (\alpha, \gamma = X, Y, Z). \end{aligned} \quad (1)$$

При этом следует иметь в виду, что, поскольку в неупорядоченном парамагнитном состоянии средние значения квадратов спиновых проекций  $S_{\alpha n}^2$  равны между собой и удовлетворяют условию:

$$\langle S_{Xn}^2 \rangle = \langle S_{Yn}^2 \rangle = \langle S_{Zn}^2 \rangle = \frac{1}{3}S(S+1), \quad (2)$$

то переход из парамагнитного состояния в более упорядоченное характеризуется появлением либо ненулевого среднего значения квадрупольного оператора  $q_0 = \langle Q_{0n} \rangle = 3\langle S_{Zn}^2 \rangle - S(S+1) \neq 0$ , либо  $q_2 = \langle Q_{2n} \rangle = \langle S_{Xn}^2 \rangle - \langle S_{Yn}^2 \rangle \neq 0$ , либо  $q_0 \neq 0$  и  $q_2 \neq 0$  одновременно. Таким образом, величины  $q_0$  и  $q_2$  играют роль параметров квадрупольного порядка и по своему определению как разность двух вели-

чин могут быть как положительными, так и отрицательными.

Магнитная фазовая диаграмма магнетика с билинейным  $I > 0$  и биквадратичным  $K > 0$  параметрами обмена ближайших магнитных соседей и спинами  $S = 1$  была исследована в работах Чена и Леви [5, 6]. При этом на плоскости переменных отношение параметров обмена  $K/I$  – температура  $T$  были получены границы существования магнитоупорядоченных состояний, которые выделили ферромагнитную фазу с ненулевой относительной намагниченностью  $\sigma_Z \equiv \langle S_{Zn} \rangle \neq 0$  и положительным квадрупольным параметром порядка  $q_0 > 0$  и квадрупольную фазу с нулевой намагниченностью  $\langle S_{\alpha n} \rangle_{\alpha=X,Y,Z} = 0$  и отрицательным квадрупольным параметром порядка  $q_0 < 0$ . Кроме того, было рассчитано температурное поведение дипольного параметра порядка  $\sigma_Z$  и квадрупольного  $q_0$  соответствующих фаз как в нулевом магнитном поле  $H = 0$ , так и в постоянном поле  $H \neq 0$ . Однако в этой модели с биквадратичным обменом не были исследованы ни особенности изотермического намагничивания магнитоупорядоченных фаз, ни проблемы полевого поведения магнитной энтропии, что существенно для оценок возможных магнитокалорических эффектов (МКЭ) в магнетиках с биквадратичным обменом. Поэтому недавно мы провели расчеты магнитокалорических эффектов в ферромагнитной фазе магнетика с биквадратичным обменом как в случае возникновения ферромагнетизма при переходе II рода [8], так и при переходе I рода [9]. В настоящей работе рассчитан магнитокалорический эффект изотермического намагничивания в квадрупольной фазе магнетика с биквадратичным обменом и показано, что он имеет аномальный характер – увеличение магнитного поля вызывает рост магнитной энтропии.

## 2. СПОНТАННОЕ КВАДРУПОЛЬНОЕ УПОРЯДОЧЕНИЕ В НУЛЕВОМ МАГНИТНОМ ПОЛЕ

Гамильтониан магнетика с кубической решеткой и билинейным и биквадратичным обменом с  $z$  ближайшими соседями имеет вид:

$$H = -\frac{1}{2} \sum_{n=1}^N \sum_{\Delta=1}^z \left[ I (\mathbf{S}_n \cdot \mathbf{S}_{n+\Delta}) + K (\mathbf{S}_n \cdot \mathbf{S}_{n+\Delta})^2 \right], \quad (3)$$

где параметры обмена  $I > 0$  и  $K > 0$  положительны.

Биквадратичные произведения спинов  $(\mathbf{S}_n \cdot \mathbf{S}_{n+\Delta})^2$  выразим через квадрупольные опера-

торы (1). Тогда гамильтониан (3) принимает форму [6, 7]:

$$H = -\frac{1}{6} NKz [S(S+1)]^2 - \frac{1}{2} J \sum_{n,\Delta} (\mathbf{S}_n \cdot \mathbf{S}_{n+\Delta}) - \frac{1}{4} K \sum_{n,\Delta} \left( \frac{1}{3} Q_{0n} Q_{0,n+\Delta} + Q_{2n} Q_{2,n+\Delta} + Q_{XY,n} Q_{XY,n+\Delta} + Q_{YZ,n} Q_{YZ,n+\Delta} + Q_{ZX,n} Q_{ZX,n+\Delta} \right). \quad (4)$$

При этом в преобразовании от  $(\mathbf{S}_n \cdot \mathbf{S}_{n+\Delta})^2$  к квадрупольным операторам дополнительно выделяется билинейное слагаемое  $(\mathbf{S}_n \cdot \mathbf{S}_{n+\Delta})$ , что ведет к замене параметра  $I > 0$  при билинейном обмене в (8) на эффективный параметр  $J = I - \frac{1}{2} K$  [7].

Если не конкретизировать магнитную структуру упорядоченного состояния, то вводя приближение среднего поля в гамильтониане (4), получаем выражение:

$$H^{\text{MF}} = \sum_{n=1}^N H^{\text{MF}}(n),$$

$$H^{\text{MF}}(n) = -\frac{1}{6} Kz [S(S+1)]^2 + \frac{1}{2} Jz (\sigma_x^2 + \sigma_y^2 + \sigma_z^2) + \frac{1}{4} Kz \left( \frac{1}{3} q_0^2 + q_2^2 + q_{XY}^2 + q_{YZ}^2 + q_{ZX}^2 \right) - Jz (\sigma_x S_{Xn} + \sigma_y S_{Yn} + \sigma_z S_{Zn}) - \frac{1}{2} Kz \times \left( \frac{1}{3} q_0 Q_{0,n} + q_2 Q_{2,n} + q_{XY} Q_{XY,n} + q_{YZ} Q_{YZ,n} + q_{ZX} Q_{ZX,n} \right). \quad (5)$$

Здесь  $\sigma_\alpha \equiv \langle S_{\alpha,n} \rangle_{\alpha=X,Y,Z}$  и  $q_\gamma \equiv \langle Q_{\gamma,n} \rangle_{\gamma=0,2,XY,YZ,ZX}$  являются термодинамическими средними значениями дипольных  $S_{\alpha,n}$  и квадрупольных  $Q_{\gamma,n}$  спиновых операторов и играют роль параметров порядка. Выбор конкретного вида магнитного упорядочения определяет то, какие из параметров порядка  $\sigma_\alpha$  и  $q_\gamma$  в одноузельном гамильтониане  $H^{\text{MF}}(n)$  следует положить равным нулю и какие будут отличны от нуля. Очевидно, что в квадрупольном состоянии все дипольные параметры порядка  $\sigma_{\alpha=X,Y,Z} = 0$  следует положить равными нулю (намагниченность на узле отсутствует для любого направления), но средние значения квадрупольных операторов  $q_\gamma \neq 0$ .

Предварительно попробуем установить вид квадрупольного упорядочения и его параметров порядка  $q_\gamma(T=0)$  при нулевой температуре  $T=0$ . Ограничимся случаем спина  $S=1$  и построим волновую функцию основного квадрупольного состояния  $|\Psi_{q_0}(n)\rangle$ , которая, как любая собственная функция спинового гамильтониана с  $S=1$  должна быть линейной комбинацией собственных

волновых функций  $|1\rangle$ ,  $|0\rangle$  и  $|-1\rangle$   $Z$ -проекции оператора спина  $S_{Zn}$ :  $|\Psi_{qu}(n)\rangle = a|1\rangle + b|0\rangle + c|-1\rangle$ . Если учесть, что в основном квадрупольном состоянии должно отсутствовать дипольное упорядочение, т.е. потребовать:

$$\begin{aligned} \sigma_X(T=0) &= \langle \Psi_{qu}(n) | S_{Xn} | \Psi_{qu}(n) \rangle = 0, \\ \sigma_Z(T=0) &= \langle \Psi_{qu}(n) | S_{Zn} | \Psi_{qu}(n) \rangle = 0, \end{aligned} \quad (6)$$

и также учесть условие нормировки  $\langle \Psi_{qu}(n) | \Psi_{qu}(n) \rangle = 1$ , то из трех уравнений на коэффициенты  $a$ ,  $b$  и  $c$  можно получить три решения для этих коэффициентов и, соответственно, три варианта волновых функций квадрупольного упорядочения:

$$\begin{aligned} |\Psi_{qu,X}(n)\rangle &= \frac{|1\rangle - |-1\rangle}{\sqrt{2}}, \quad |\Psi_{qu,Y}(n)\rangle = \frac{|1\rangle + |-1\rangle}{\sqrt{2}}, \\ |\Psi_{qu,Z}(n)\rangle &= |0\rangle, \end{aligned} \quad (7)$$

причем эти волновые функции будут взаимно-ортгональными.

Выбирая  $|\Psi_{qu,X}(n)\rangle$  в качестве волновой функции основного состояния для одноузельного гамильтониана  $H^{MF}(n)$  (5), можно получить значения квадрупольных параметров порядка при  $T=0$ :

$$\begin{aligned} q_0(T=0) &\equiv \langle Q_{0,n} \rangle_{T=0} = \\ &= \langle \Psi_{qu,X}(n) | 3S_{Zn}^2 - 2 | \Psi_{qu,X}(n) \rangle = 1, \\ q_0(T=0) &\equiv \langle Q_{2,n} \rangle_{T=0} = \\ &= \langle \Psi_{qu,X}(n) | S_{Xn}^2 - S_{Yn}^2 | \Psi_{qu,X}(n) \rangle = -1, \\ q_{XY}(T=0) &= q_{YZ}(T=0) = q_{ZX}(T=0) = 0. \end{aligned} \quad (8)$$

Отсюда, учитывая соотношение  $S_{Xn}^2 + S_{Yn}^2 + S_{Zn}^2 = S(S+1)|_{S=1} = 2$ , найдем среднее значение квадратов операторов спиновых проекций в этом квадрупольном упорядочении:

$$\langle S_{Xn}^2 \rangle_{T=0} = 0, \quad \langle S_{Yn}^2 \rangle_{T=0} = \langle S_{Zn}^2 \rangle_{T=0} = 1. \quad (9)$$

Аналогично, при выборе  $|\Psi_{qu,Y}(n)\rangle$  в качестве возможной волновой функции получим:

$$\begin{aligned} q_0(T=0) &= 1, \quad q_2(T=0) = 1, \\ q_\gamma(T=0)_{\gamma=XY,YZ,ZX} &= 0, \\ \langle S_{Yn}^2 \rangle_{T=0} &= 0, \quad \langle S_{Xn}^2 \rangle_{T=0} = \langle S_{Zn}^2 \rangle_{T=0} = 1, \end{aligned} \quad (10)$$

а при выборе  $|\Psi_{qu,Z}(n)\rangle$  получим:

$$\begin{aligned} q_0(T=0) &= -2, \quad q_2(T=0) = 0, \\ q_\gamma(T=0)_{\gamma=XY,YZ,ZX} &= 0, \\ \langle S_{Zn}^2 \rangle_{T=0} &= 0, \quad \langle S_{Xn}^2 \rangle_{T=0} = \langle S_{Yn}^2 \rangle_{T=0} = 1. \end{aligned} \quad (11)$$

Таким образом, видно, что, если в неупорядоченной парамагнитной фазе ориентации спиновых векторов равномерно распределены по поверхности сферы в трехмерном пространстве с

результатом  $S_{Xn}^2 = S_{Yn}^2 = S_{Zn}^2 = \frac{S(S+1)}{3}|_{S=1} = \frac{2}{3}$ , то

при понижении температуры до  $T=0$  это трехмерное распределение ориентаций спинов трансформируется в равномерное распределение спиновых ориентаций по длине окружности на двумерной плоскости с результатом, например,

$$S_{Zn}^2 = 0, \quad \langle S_{Xn}^2 \rangle = \langle S_{Yn}^2 \rangle = \frac{S(S+1)}{2}|_{S=1} = 1. \text{ Следова-$$

тельно, квадрупольное упорядочение при  $T=0$  выражается в том, что третье измерение пространства становится недоступным для ориентаций спиновых векторов. В кубическом магнетике осью цилиндрической симметрии такого квадрупольного порядка может быть любая из осей координат –  $OX$ ,  $OY$  или  $OZ$ , что означает существование трех доменов одноосного квадрупольного упорядочения.

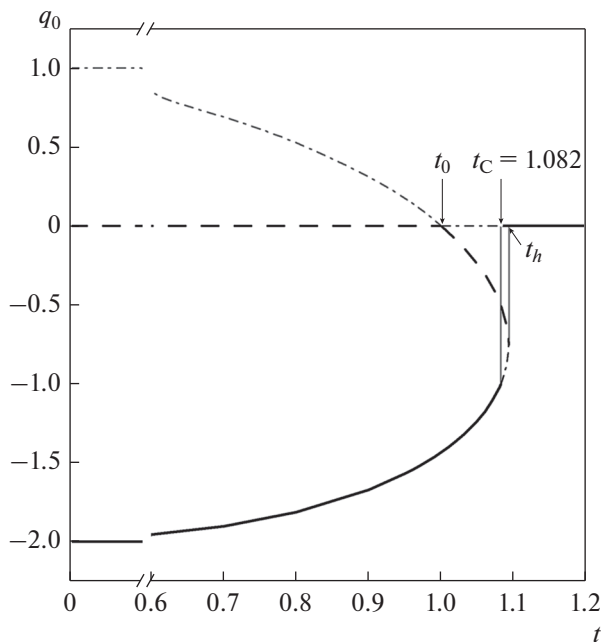
Добавим, что энергия основного одноосного квадрупольного состояния  $E_{0,qu}$  (в расчете на атом) будет одинакова для любого варианта выбора оси симметрии квадрупольного порядка:

$$\begin{aligned} E_{0,qu} &= \langle \Psi_{\alpha,qu}(n) | H^{MF}(n) | \Psi_{\alpha,qu}(n) \rangle_{\alpha=X,Y,Z} = \\ &= -\frac{2}{3}Kz - \frac{1}{12}Kzq_0^2(T=0) - \frac{1}{4}Kzq_2^2(T=0) = -Kz. \end{aligned} \quad (12)$$

Этот результат для энергии основного состояния интересно сравнить с энергией основного ферромагнитного состояния в этой же модели обменных взаимодействий (3), (4). Основное ферромагнитное состояние с ориентацией всех спинов  $S=1$  вдоль оси  $OZ$  описывается волновой функцией  $|\Psi_{Z,f}(n)\rangle = |1\rangle$ , что дает  $\sigma_Z(T=0) = 1$ ,  $q_0(T=0) = 1$ , а все прочие дипольные и квадрупольные параметры порядка равны 0. Поэтому энергия основного ферромагнитного состояния  $E_{0,f}$  равна

$$\begin{aligned} E_{0,f} &= \langle \Psi_{Z,f}(n) | H^{MF}(n) | \Psi_{Z,f}(n) \rangle = \\ &= -\frac{2}{3}Kz - \frac{1}{2}Jz\sigma_Z^2(T=0) - \frac{1}{12}Kzq_0^2(T=0) = \\ &= -\frac{3}{4}Kz - \frac{1}{2}Jz = -\frac{1}{2}Kz - \frac{1}{2}Iz. \end{aligned} \quad (13)$$

Поэтому условие энергетической выгодности квадрупольного упорядочения при  $T=0$   $E_{0,f} > E_{0,qu}$  приводит к условию на параметры обмена  $K > 2J$  (или с учетом равенства  $J = I - \frac{1}{2}K$  из (4) дает требование  $K > I$  для параметров обмена исходного гамильтониана (3)).



**Рис. 1.** Зависимость квадрупольного параметра порядка  $q_0(t)$  от безразмерной температуры  $t = T/T_0$ , где  $T_0 = \frac{1}{3} Kz/k_B$  (и соответственно  $t_0 = 1$ ) – температурная граница термодинамической устойчивости парамагнитного состояния с  $q_0 = 0$ . Участки значений  $q_0$  на кривой  $q_0(t) \neq 0$  и на прямой линии тривиальных решений  $q_0(t) = 0$ , отвечающие термодинамически стабильным состояниям, изображены сплошными линиями; участки значений  $q_0$  для метастабильных состояний – штрих-пунктирной линией, и участки значений  $q_0$  для неустойчивых состояний в точках максимума ТДП – штриховые линии.  $t_C (H = 0) = 1.082$  – безразмерная температура фазового перехода I рода;  $t_h = 1.093$  – верхняя температурная граница нетривиальных решений  $q_0(t) \neq 0$ .

Рассмотрим для простоты случай одноосного квадрупольного упорядочения вдоль оси  $OZ$ , подразумевающий наличие параметра порядка  $q_0 \neq 0$  и равенства нулю параметра  $q_2 = 0$  (это означает равенство  $\langle S_{xn}^2 \rangle = \langle S_{yn}^2 \rangle$  во всем интервале температур). Одноузельный гамильтониан  $H^{MF}(n)$  (5) в приближении среднего поля для квадрупольного упорядочения примет вид:

$$H_{qu,Z}^{MF}(n) = -\frac{2}{3} Kz + \frac{1}{12} Kzq_0^2 - \frac{1}{6} Kzq_0Q_0, \quad (14)$$

и термодинамический потенциал (ТДП)  $f$  будет равен

$$f = -\frac{2}{3} Kz + \frac{1}{12} Kzq_0^2 - \beta^{-1} \ln \left[ 2 \exp\left(\frac{1}{6} \beta Kzq_0\right) + \exp\left(-\frac{1}{3} \beta Kzq_0\right) \right], \quad (15)$$

$$\beta = 1/k_B T.$$

Самосогласованное уравнение для параметров порядка  $q_0$  в точках экстремумов ТДП  $f$  получается из условия  $\partial f / \partial q_0 = 0$  и выглядит как

$$q_0 = \frac{2 - 2 \exp\left(-\frac{1}{2} \beta Kzq_0\right)}{2 + \exp\left(-\frac{1}{2} \beta Kzq_0\right)}. \quad (16)$$

При этом уравнение (16) полезно преобразовать к альтернативной форме

$$\exp\left(-\frac{1}{2} \beta Kzq_0\right) = \frac{2 - 2q_0}{2 + q_0}. \quad (17)$$

Наконец, чтобы определить термодинамически устойчивые значения  $q_0$ , полученные из (16) и соответствующие локальным минимумам ТДП  $f$ , от неустойчивых значений  $q_0$ , отвечающих локальным максимумам ТДП  $f$ , необходимо найденные значения  $q_0$  подставить во вторую производную ТДП по параметру порядка  $\partial^2 f / \partial q_0^2$  и убедиться в ее положительном знаке:

$$\frac{\partial^2 f}{\partial q_0^2} = \frac{1}{6} Kz \left\{ 1 - 3\beta Kz \frac{\exp(-1/2 \beta Kzq_0)}{[2 + \exp(-1/2 \beta Kzq_0)]^2} \right\} = \frac{1}{6} Kz \left[ 1 - \frac{1}{6} \beta Kz (1 - q_0)(2 + q_0) \right] > 0. \quad (18)$$

Поскольку уравнения (16) или (17) для всех температур имеют также тривиальное решение  $q_0 = 0$ , соответствующее парамагнитному состоянию, то подставляя  $q_0 = 0$  в (18), находим, что парамагнитное состояние отвечает минимуму ТДП при температурах  $T > T_0$ , где

$$T_0 = \frac{1}{3} Kz/k_B. \quad (19)$$

При  $T < T_0$  парамагнитное состояние  $q_0 = 0$  неустойчиво, так как оно соответствует максимуму ТДП.

На рис. 1 представлены результаты расчета параметра квадрупольного порядка  $q_0(t)$  из уравнения (16) как непрерывной функции безразмерной температуры  $t = T/T_0$ . Видно, что при  $t > t_h = 1.093$  в системе существует только одно парамагнитное состояние с  $q_0(t) = 0$ , а при  $t < t_h$  при одной температуре всегда существует три решения для  $q_0$  – два решения  $q_0(t) \neq 0$  и одно тривиальное решение  $q_0(t) = 0$ . При этом два решения  $q_0$  отвечают двум локальным минимумам ТДП, а одно из решений  $q_0$  – локальному максимуму ТДП, т.е. соответствуют термодинамически неустойчивому состоянию (участки значений  $q_0(t)$  для неустойчивых состояний изображены штриховыми линиями). Важно, что локальные минимумы ТДП, место-

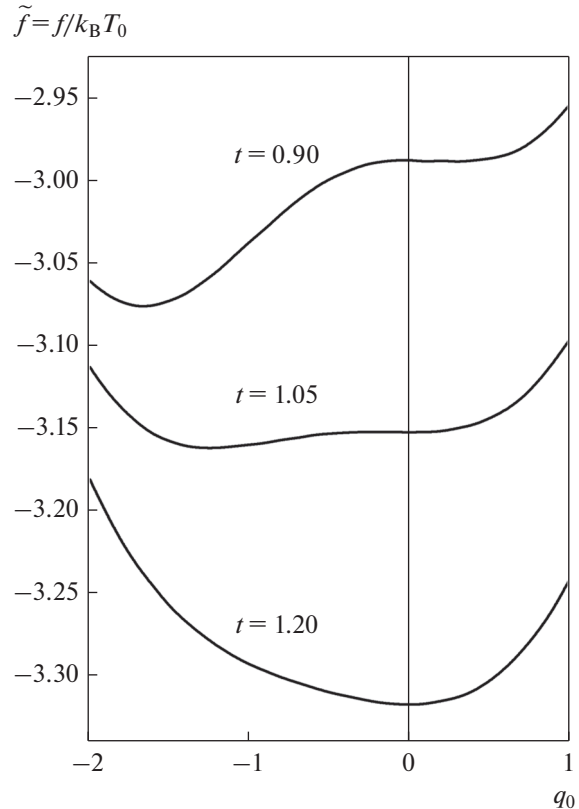
положение которых в пространстве переменных  $q_0$  дается найденными значениями  $q_0(t)$  из (16), различаются по своей глубине, и что более глубокий минимум ТДП соответствует равновесному стабильному состоянию магнитной системы, тогда как состояние системы в точке менее глубокого минимума ТДП является метастабильным. Поэтому, чтобы различить эти ситуации, температурная зависимость квадрупольного параметра порядка  $q_0(t)$  в стабильном состоянии изображена сплошной линией, а в метастабильном состоянии – штрихпунктирной линией.

В результате видно, что парамагнитное состояние с  $q_0 = 0$  является стабильным при  $t > t_c$  и метастабильным на участке  $t_0 = 1 < t < t_c$ . В точке  $t_c = 1.082$ , когда локальные минимумы ТДП для парамагнитного состояния с  $q_0 = 0$  и для квадрупольного состояния с отрицательным параметром порядка  $q_0(t_c) \approx -1$  сравниваются по величине, происходит фазовый переход I рода из парамагнитного состояния в квадрупольное состояние с  $q_0(t) < 0$ . При этом для ветви отрицательных значений  $q_0(t) < 0$  в пределе  $t \rightarrow 0$  будет  $q_0(t = 0) = -2$ , как это и следовало из обсуждения величин параметров порядка основного квадрупольного состояния (11). При температурах  $0 \leq t < t_0 = 1$  в роли метастабильного состояния выступает квадрупольное состояние с положительным параметром порядка  $q_0(t) > 0$ , причем при  $t \rightarrow 0$  будет  $q_0(t = 0) = 1$ .

На рис. 2 представлены зависимости величин безразмерного ТДП  $\tilde{f} = f/k_B T$  как функции квадрупольного параметра порядка  $q_0$  для трех значений безразмерной температуры  $t = 1.2, 1.05$  и  $0.9$ , которые иллюстрируют температурные изменения энергетического профиля ТДП и возникновение квадрупольного порядка. При  $t = 1.2$  в парамагнитном состоянии ТДП  $\tilde{f}$  имеет только один локальный минимум при  $q_0 = 0$ , а при  $t = 1.05$  существует уже два локальных минимума ТДП – более глубокий при  $q_0 \approx -1.232$  (стабильное квадрупольное состояние), и менее глубокий при  $q_0 = 0$  (метастабильное парамагнитное состояние). Наконец, при  $t = 0.9$  более глубокий минимум ТДП приходится на  $q_0 = -1.670$  (стабильное квадрупольное состояние с  $q_0 < 0$ ) и менее глубокий минимум на  $q_0 = 0.317$  (метастабильное квадрупольное состояние с  $q_0 > 0$ ).

Магнитная теплоемкость квадрупольного магнетика  $C_M$  (на один атом) определяется как температурная производная внутренней энергии  $U_0$ :

$$C_M = \frac{\partial U_0}{\partial T} = \frac{\partial}{\partial T} \langle H_{qu,Z}^{MF}(n) \rangle = -\frac{1}{6} Kz q_0 \frac{\partial q_0(T)}{\partial T}. \quad (20)$$



**Рис. 2.** Безразмерный ТДП  $\tilde{f} = f/k_B T_0$  квадрупольного магнетика как функция параметра порядка  $q_0$ , меняющегося в интервале  $-2 \leq q_0 \leq 1$ , для трех значений безразмерных температур  $t$ . 1) При  $t = 1.2$  – один минимум ТДП при  $q_0 = 0$  (устойчивое парамагнитное состояние); 2) при  $t = 1.05$  – локальный минимум ТДП при  $q_0 = -1.232$  (стабильное квадрупольное состояние) и менее глубокий минимум ТДП при  $q_0 = 0$  (метастабильное парамагнитное состояние); 3) при  $t = 0.9$  – глубокий минимум ТДП при  $q_0 \sim -1.670$  (стабильное квадрупольное состояние с  $q_0 < 0$ ), локальный максимум при  $q_0 = 0$  (неустойчивое парамагнитное состояние) и неглубокий локальный минимум ТДП при  $q_0 = 0.317$  (метастабильное квадрупольное состояние с  $q_0 > 0$ ).

Дифференцируя уравнения (16) или (17), находим:

$$\frac{\partial q_0(T)}{\partial T} = \left( \frac{Kz}{k_B T^2} \right) \frac{q_0(1 - q_0)(2 + q_0)}{[(Kz/k_B T)(1 - q_0)(2 + q_0) - 6]} \quad (21)$$

и

$$C_M = \frac{1}{6} k_B \left( \frac{Kz}{k_B T} \right)^2 \frac{q_0^2(1 - q_0)(2 + q_0)}{[6 - (Kz/k_B T)(1 - q_0)(2 + q_0)]}. \quad (22)$$

Согласно результатам численного расчета, в точке фазового перехода I рода  $t_c = T_c/T_0 =$

$= 3k_B T_C / Kz \approx 1.082$  будет  $q_0(t_C - 0^+) \approx -1.000$ , что дает скачок теплоемкости  $C_M(t_C - 0^+) = 5.635k_B$ . Для сравнения напомним, что в обычном ферромагнетике с билинейным обменом и спином  $S = 1$  скачок магнитной теплоемкости при переходе II рода в точке Кюри  $T_C$  равен  $\Delta C_M(T_C) = C_M(T_C - 0^+) - C_M(T_C + 0^+) = 2k_B$  [10]. Таким образом, эффект скачкообразного изменения магнитной теплоемкости при переходе в квадрупольное состояние сопоставим по своей величине со скачком магнитной теплоемкости при фазовом переходе II рода в дипольное ферромагнитное состояние.

### 3. КВАДРУПОЛЬНЫЙ МАГНЕТИК ВО ВНЕШНЕМ МАГНИТНОМ ПОЛЕ

Рассмотрим поведение квадрупольного упорядочения, когда внешнее магнитное поле  $H$  параллельно оси симметрии  $OZ$  квадрупольного порядка. Так как в поле  $H \parallel OZ$  в спиновой системе появляется ненулевая намагниченность  $m = \mu_0 \langle S_{zn}(H) \rangle$ , пропорциональная среднему значению спина  $\langle S_{zn}(H) \rangle \equiv \sigma_Z(H)$ , то одноузельный гамильтониан  $H^{MF}(n)$  (5), помимо зеemannовского вклада  $-\mu_0 H S_Z$ , необходимо дополнить вкладом от билинейного обменного взаимодействия  $-Jz\sigma_Z(H)S_Z$ . Тогда в присутствии поля гамильтониан  $H_{qu,Z}^{MF}(n)$  сменится на

$$H_{qu,Z}^{MF}(n, H) = -\frac{2}{3}Kz + \frac{1}{12}Kzq_0^2 + \frac{1}{2}Jz\sigma_Z^2(H) - (\mu_0 H + Jz\sigma_Z(H))S_Z - \frac{1}{6}Kzq_0Q_0. \quad (23)$$

Разумеется, надо иметь в виду, что в пределе  $H \rightarrow 0$  будет  $\sigma_Z(H = 0) = 0$ , так как в отсутствие поля магнетик находится в ненамагниченном квадрупольном состоянии.

Используя (23), получим ТДП  $f(H)$  в магнитном поле:

$$f(H) = -\frac{2}{3}Kz + \frac{1}{12}Kzq_0^2 + \frac{1}{2}Jz\sigma_Z^2 - \beta^{-1} \ln \left[ 2 \exp\left(\frac{1}{6}\beta Kzq_0\right) \text{ch}[\beta(\mu_0 H + Jz\sigma_Z)] + \exp\left(-\frac{1}{3}\beta Kzq_0\right) \right], \quad (24)$$

и систему самосогласованных уравнений для параметров порядка  $q_0$  и  $\sigma_Z(H)$  из условия  $\partial f(H)/\partial q_0 = 0$  и  $\partial f(H)/\partial \sigma_Z = 0$ :

$$q_0 = \frac{2 \text{ch}[\beta(\mu_0 H + Jz\sigma_Z)] - 2 \exp\left(-\frac{1}{2}\beta Kzq_0\right)}{2 \text{ch}[\beta(\mu_0 H + Jz\sigma_Z)] + \exp\left(-\frac{1}{2}\beta Kzq_0\right)}, \quad (25)$$

$$\sigma_Z = \frac{2 \text{sh}[\beta(\mu_0 H + Jz\sigma_Z)]}{2 \text{ch}[\beta(\mu_0 H + Jz\sigma_Z)] + \exp\left(-\frac{1}{2}\beta Kzq_0\right)},$$

которая может быть преобразована к альтернативной форме:

$$\exp[-2\beta(\mu_0 H + Kzq_0)] = \frac{2 + q_0 - \sigma_Z}{2 + q_0 + 3\sigma_Z}, \quad (26)$$

$$\exp\left[-\beta\left(\mu_0 H + Jz\sigma_Z + \frac{1}{2}Kzq_0\right)\right] = \frac{2 - 2q_0}{2 + q_0 + 3\sigma_Z}.$$

Кроме того, среди найденных из (25) или (26) значений  $q_0$  и  $\sigma_Z(H)$  необходимо выделить значения  $q_0$  и  $\sigma_Z$ , отвечающие локальным минимумом ТДП  $f(H)$ . Для этого необходимо проверить, что найденный из (25)  $\sigma_Z(H)$  и  $q_0$  удовлетворяют условиям:

$$\frac{\partial^2 f}{\partial q_0^2} = \frac{1}{6}Kz \left[ 1 - \frac{1}{6}\beta Kz(1 - q_0)(2 + q_0) \right] > 0,$$

$$\Delta(\sigma_Z, q_0) \equiv \frac{\partial^2 f}{\partial q_0^2} \frac{\partial^2 f}{\partial \sigma_Z^2} - \left( \frac{\partial^2 f}{\partial q_0 \partial \sigma_Z} \right)^2 =$$

$$= \frac{1}{6}JKz^2 \left\{ 1 - \frac{1}{3}\beta Jz(2 + q_0 - 3\sigma_Z^2) - \frac{1}{6}\beta Kz(1 - q_0)(2 + q_0) + \frac{1}{18}\beta^2 JKz^2(1 - q_0)[(2 + q_0)^2 - 9\sigma_Z^2] \right\} > 0. \quad (27)$$

Наконец, магнитная энтропия  $S_M(H)$  спонтанной системы в поле  $H$  равна (в расчете на один атом):

$$S_M(H)/k_B = \beta \left[ \langle H_{qu,Z}^{MF}(n, H) \rangle - f(H) \right] =$$

$$= -\beta \left( \mu_0 H \sigma_Z + Jz\sigma_Z^2 + \frac{1}{6}Kzq_0^2 \right) +$$

$$+ \ln \left[ 2 \exp\left(\frac{1}{6}\beta Kzq_0\right) \text{ch}[\beta(\mu_0 H + Jz\sigma_Z)] + \exp\left(-\frac{1}{3}\beta Kzq_0\right) \right], \quad (28)$$

и начальная магнитная восприимчивость  $\chi_0$  имеет вид:

$$\chi_0(T) = \mu_0 \frac{d\sigma_Z(H)}{dH} \Big|_{H=0} = \frac{2\mu_0^2}{k_B T \left[ 2 + \exp\left(-\frac{Kz}{2k_B T} q_0\right) \right] - 2Jz} \quad (29)$$

Для низких температур, учитывая, что при  $T < 0.3T_0 \sim 0.3T_C$  имеем  $q_0(t) \approx -2.000$ , получим, что восприимчивость будет экспоненциально мала:

$$\chi_0(T < 0.3T_C) \approx \frac{2\mu_0^2}{k_B T} \exp\left(-\frac{Kz}{k_B T}\right) \quad (30)$$

Что же касается восприимчивости в точке перехода  $T_C$  в квадрупольную фазу, то при переходе она уменьшается скачком, причем величина скачка зависит от отношения параметров эффективного билинейного обмена  $J$  и биквадратичного обмена  $K$ . Действительно, записывая отношение  $\chi_0(T_C + 0^+)/\chi_0(T_C - 0^+)$  и переходя к безразмерной температуре  $t = T/T_0 = 3k_B T/Kz$ , получим:

$$\frac{\chi_0(T_C + 0^+)}{\chi_0(T_C - 0^+)} = \frac{k_B T_C \left[ 2 + \exp\left(-\frac{Kz}{2k_B T} q_0(T_C)\right) \right] - 2Jz}{3k_B T_C - 2Jz} = \frac{t_C \left[ 2 + \exp\left(-\frac{3}{2t_0} q_0(T_C)\right) \right] - 6(J/K)}{3t_C - 6(J/K)} \approx \frac{2t_C - 2\left(\frac{J}{K}\right)}{t_C - 2\left(\frac{J}{K}\right)} \quad (31)$$

(здесь использовано, что в критической точке  $t_C \approx 1.082$  параметр порядка в нулевом поле  $h = 0$  равен  $q_0(t_C) \approx -1.000$ ). С одной стороны, выше получено, что спонтанное квадрупольное упорядочение существует только при  $J/K \leq 0.5$ . С другой стороны, наше рассмотрение ограничено областью положительных значений эффективного билинейного обмена  $J/K \geq 0$ . Поэтому на интервале изменений отношений параметров обмена  $0.5 \geq J/K \geq 0$  величина  $\chi_0(T_C + 0^+)/\chi_0(T_C - 0^+)$  будет меняться от  $\chi_0(T_C + 0^+)/\chi_0(T_C - 0^+) \Big|_{J/K=0.5} \approx 14.195$  до  $\chi_0(T_C + 0^+)/\chi_0(T_C - 0^+) \Big|_{J/K=0} = 2$ .

Рассмотрим теперь процесс изотермического намагничивания магнетика в квадрупольном состоянии, учитывая, что исходно, в нулевом маг-

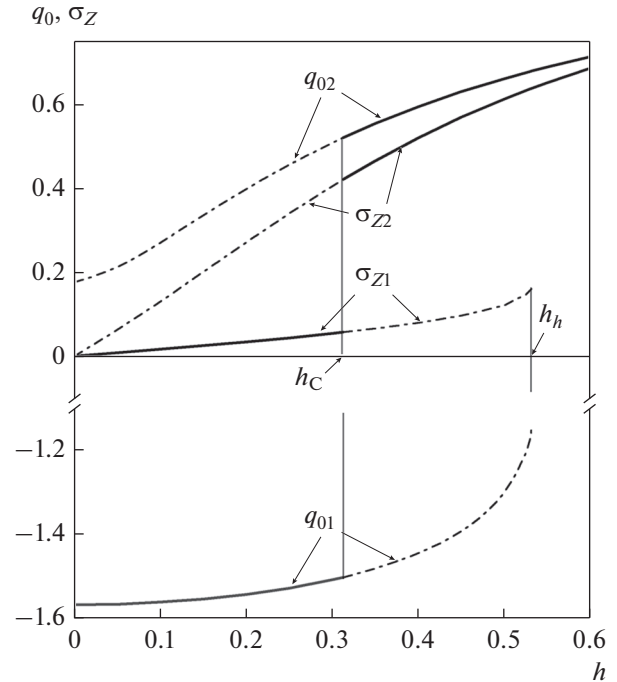
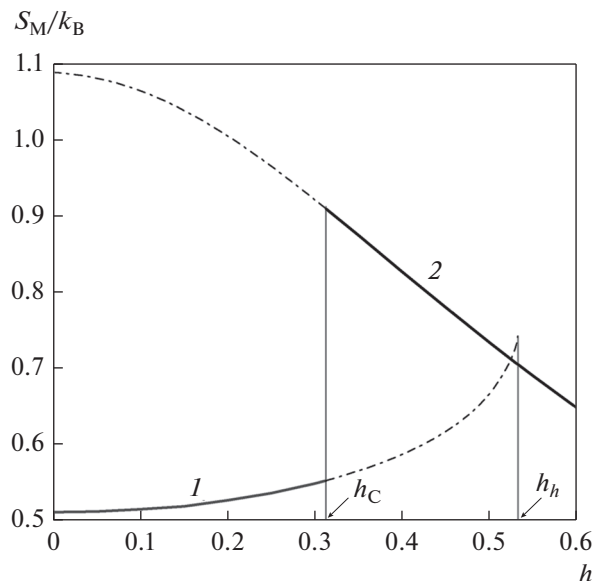


Рис. 3. Зависимость квадрупольных параметров порядка  $q_{01} < 0$  и  $q_{02} > 0$  и связанных с ними дипольных параметров порядка  $\sigma_{Z1} > 0$  и  $\sigma_{Z2} > 0$  (относительные намагниченности) от величины безразмерного поля  $h = \mu_0 H / (k_B T_0)$  при изотермическом намагничивании при температуре  $t = 0.95$ . Полевые зависимости параметров порядка в стабильных состояниях изображены сплошной линией, метастабильных – штрих-пунктирной.  $h_c \sim 0.313$  критическое магнитное поле фазового перехода I рода по полю между состояниями с  $q_{01} < 0$  и  $q_{02} > 0$ ;  $h_h \sim 0.532$  – верхняя полевая граница термодинамической устойчивости метастабильного состояния с  $q_{01} < 0$  и  $\sigma_{Z1} > 0$ . Отношение параметров обмена  $J/K = 1/6$ .

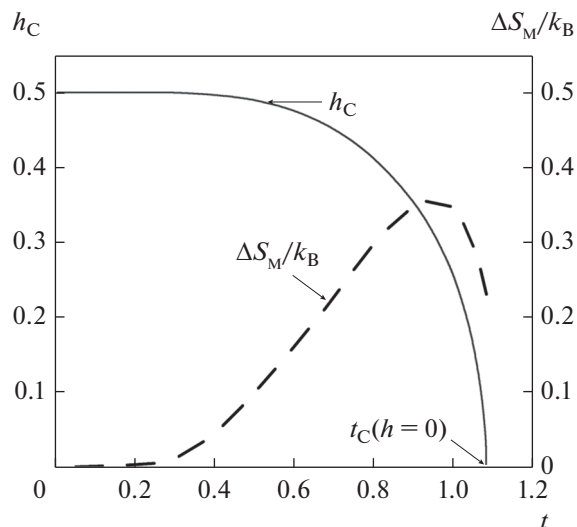
нитном поле, при температурах ниже точки  $t_C$  фазового перехода I рода в системе существуют как устойчивое квадрупольное состояние с отрицательным параметром порядка  $q_{01}(t) < 0$ , так и метастабильное квадрупольное состояние с положительным параметром порядка  $q_{02}(t) > 0$ . На рис. 3 в качестве примера приведены зависимости квадрупольных параметров порядка  $q_{01}(t) < 0, q_{02}(t) > 0$  и связанных с ними относительных намагниченностей  $\sigma_{Z1}(t), \sigma_{Z2}(t)$  от безразмерного магнитного поля  $h = \mu_0 H / k_B T_0$  при температуре  $t = 0.95$  и отношении параметров обмена  $J/K = 1/6$ , что эквивалентно отношению  $I/K = 2/3$  для неперенормированных параметров обмена в (3). При этом значения параметров  $q_0$  и  $\sigma_Z$  в стабильном состоянии изображены сплошной линией, а в метастабильном состоянии –



**Рис. 4.** Изменения магнитной энтропии  $S_M/k_B$  при изотермическом намагничивании при  $t = 0.95$  для магнитных состояний с  $q_{01} < 0$  (кривая 1) и  $q_{02} > 0$  (кривая 2) как в стабильных состояниях (сплошные участки кривых), так и в метастабильных (штрихпунктирные участки).  $h_C \approx 0.313$  – критическое поле фазового перехода между состояниями с  $q_{01} < 0$  и  $q_{02} > 0$ . Отношения параметров обмена  $J/K = 1/6$ .

штрих-пунктирной. Видно, что в начале намагничивания при увеличении поля  $h$  намагниченность  $\sigma_{z1}$  стабильного состояния с  $q_{01}(t) < 0$  нарастает медленно, тогда как намагниченность  $\sigma_{z2}$  метастабильного состояния с  $q_{02}(t) > 0$  растет гораздо быстрее. Поскольку основной вклад в понижение энергии в минимуме ТДП пропорционален  $-\mu_0\sigma_z h$  и  $\sigma_{z2}(h) \gg \sigma_{z1}(h)$ , то это приводит к тому, что при достижении критического поля  $h_C \approx 0.313$  глубина локального минимума ТДП для состояния с  $q_{02}(t) > 0$  становится больше, чем для состояния с отрицательным  $q_{01}(t) < 0$ . Поэтому происходит фазовый переход I рода по полю – относительная намагниченность  $\sigma_z$  в критическом поле  $h_C$  скачком возрастает на  $\Delta\sigma_z = \sigma_{z2}(h_C) - \sigma_{z1}(h_C) = 0.421 - 0.057 = 0.364$ , и состояние с  $q_{02}(t) > 0$  становится стабильным, а состояние с  $q_{01}(t) < 0$  – метастабильным.

На рис. 4 представлено изменение магнитной энтропии  $S_M$  при изотермическом намагничивании при тех же параметрах системы  $t = 0.95$  и  $J/K = 1/6$  как в стабильных состояниях (сплошные линии), так и в метастабильных состояниях (штрихпунктирные линии). Видно, что в низких магнитных полях  $h$ , когда стабильно квадруполь-



**Рис. 5.** Зависимости величин критического магнитного поля фазового перехода  $h_C$  (сплошная линия) и величины скачка магнитной энтропии  $\Delta S_M/k_B$  в критическом поле  $h_C(t)$  (штриховая линия) от температуры  $t$  изотермического намагничивания. Отношение параметров эффективного билинейного и биквадратичного обменов  $J/K = 1/6$ .

ное состояние с  $q_{01}(t) < 0$ , магнитная энтропия плавно растет с увеличением поля (обратный или аномальный МКЭ). В то же время, в этих же магнитных полях энтропия метастабильного квадрупольного состояния с  $q_{02}(t) > 0$  примерно в 2 раза больше, чем в стабильном состоянии с  $q_{01}(t) < 0$ , и при увеличении поля уменьшается подобно тому, как это происходит в обычном ферромагнетике с билинейным обменом (прямой или нормальный МКЭ). В точке фазового перехода I рода по полю  $h_C$  квадрупольное состояние с отрицательным параметром порядка  $q_{01}(t) < 0$  становится метастабильным, и при переходе системы в новое стабильное состояние с  $q_{02}(t) > 0$  энтропия скачком возрастает на величину  $\Delta S_M/k_B = S_{M2}/k_B - S_{M1}/k_B \approx 0.358$  (эффект носит аномальный характер). Однако при дальнейшем увеличении поля  $h > h_C$  магнитная энтропия стабильного состояния начинает уменьшаться – МКЭ снова имеет нормальный характер.

Очевидно, что критическое магнитное поле  $h_C(t)$  фазового перехода I рода между двумя состояниями с квадрупольными параметрами порядка  $q_{01}(t) < 0$  и  $q_{02}(t) > 0$  зависит от температуры изотермического намагничивания  $t$ . На рис. 5 сплошная линия изображает зависимость  $h_C(t)$ , причем на участке температур  $t_0 = 1 < t < t_C = 1.082$ , немного ниже точки спонтанного квадрупольного



упорядочения этот переход скорее следует рассматривать как переход из квадрупольного состояния с  $q_{01}(t) < 0$  в подмагниченное парамагнитное состояние. Видно, что при понижении температуры критическое поле  $h_c(t)$  между двумя состояниями растет и при нулевой температуре намагничивания достигает значения  $h_c(t=0) = 0.5$ . Если вспомнить выражение (12) для энергии основного квадрупольного состояния  $E_{0,qu}$  с параметром порядка  $q_0(t=0) = -2$  и выражение (13) для энергии основного ферромагнитного состояния  $E_{0,f}$  с параметрами порядка  $\sigma_z(T=0) = 1$ ,  $q_0(t=0) = 1$  и перейти к безразмерным энергиям  $\tilde{E} = E/(k_B T_0) = E/(Kz/3)$  и полям  $h = \mu_0 H/(k_B T_0)$ , то видно, что выполняется равенство

$$\tilde{E}_{0,qu} - \tilde{E}_{0,f} = -0.5 = -h_c(t=0). \quad (32)$$

Таким образом,  $h_c(t=0)$  – это критическое магнитное поле, которое нужно приложить к системе, чтобы перестроить магнитную структуру основного состояния от квадрупольной к ферромагнитной при нулевой температуре  $T = 0$ . И поэтому очевидно, что при конечных температурах состояние с  $q_{02}(t) > 0$  в высоких полях по своей магнитной структуре следует рассматривать как ферромагнитное состояние, а не как квадрупольное, на что указывает и большая величина относительной намагниченности  $\sigma_{z2}(t) \sim 1$  (см. рис. 3), и характер полевых зависимостей магнитной энтропии  $S_{M2}(h)$  (см. рис. 4).

Наконец укажем, что с изменением критического поля  $h_c(t)$  по температуре одновременно меняется величина скачка магнитной энтропии  $\Delta S_M(h_c(t))$  в критическом поле, но это изменение является немонотонным (штриховая линия на рис. 5). При температурах несколько ниже точки спонтанного перехода  $t_c(h=0) = 1.082$  скачок энтропии сначала растет, и в рассматриваемом случае отношений  $J/K = 1/6$  достигает максимума при  $t \approx 0.95$ , но затем начинает резко уменьшаться, так что  $\Delta S_M(h_c(t \rightarrow 0)) \rightarrow 0$  обращается в нуль при  $t = 0$ . Это естественно, так как при понижении температуры резко уменьшаются энтропии обоих состояний с  $q_{01}(t) < 0$  и  $q_{02}(t) > 0$  и, как следствие, уменьшается их разность.

#### 4. ЗАКЛЮЧЕНИЕ

В работе показано, что в кубическом магнетике с билинейным и биквадратичным обменами и спином  $S = 1$  при достаточно большом параметре биквадратичного обмена ( $K > I$ ) скачкообразно возникает одноосный квадрупольный порядок

при понижении температуры  $T$ . Изотермическое намагничивание этого одноосного квадрупольного упорядочения вдоль оси симметрии сначала ведет к постепенному увеличению магнитной энтропии  $S_M$ , а затем, при достижении критического поля приводит к скачку в состояние с более высокой намагниченностью и одновременно к скачку с увеличением магнитной энтропии (обратный МКЭ).

Заметим, что в случае спина  $S = 1$  параметр одноосного квадрупольного упорядочения  $q(T)$  вдоль оси  $OZ$  имеет отрицательный знак в основном состоянии:  $q_0(T=0) = 3\langle S_z^2 \rangle_{T=0} - 2 = -2 < 0$  (ввиду того, что в этом состоянии  $\langle S_z^2 \rangle_{T=0} = 0$ ,  $\langle S_x^2 \rangle_{T=0} = \langle S_y^2 \rangle_{T=0} = 1$ ) и что именно с отрицательным знаком параметра порядка  $q_0(T) < 0$  связано аномальное полевое поведение магнитной энтропии. Дело в том, что, как отмечено в [7], магнитную структуру одноосного квадрупольного порядка вдоль оси  $OZ$  можно представить как распределение ориентаций спиновых векторов  $S_n$  внутри эллипсоида вращения – либо внутри сплюснутого эллипсоида с  $\langle S_{zn}^2 \rangle < \langle S_{xn}^2 \rangle = \langle S_{yn}^2 \rangle$  и, соответственно, с отрицательным параметром порядка  $q_0(T) = 3\langle S_{zn}^2 \rangle - S(S+1) < 0$ , либо внутри вытянутого эллипсоида с  $\langle S_{z0}^2 \rangle > \langle S_{xn}^2 \rangle = \langle S_{yn}^2 \rangle$  и  $q_0(T) > 0$ . В случае спина  $S = 1$  упорядочение с  $q_0(T) < 0$ , а не с  $q_0(T) > 0$  при  $H = 0$  и при невысоких полях  $H \neq 0$  дает более низкую энергию основного состояния и более низкую энергию в минимуме ТДП. При этом неравенство средних значений квадратов спиновых переменных  $\langle S_{zn}^2 \rangle < \langle S_{xn}^2 \rangle = \langle S_{yn}^2 \rangle$  и усиление этого неравенства при понижении температуры указывают на то, что в квадрупольной структуре с  $q_0(T) < 0$  спины  $S_n$  стремятся выстроиться перпендикулярно оси симметрии  $OZ$ , по возможности ближе к плоскости  $OXY$ . Поэтому магнитное поле вдоль оси  $OZ$ , перпендикулярное направлению упорядочения, усиливает беспорядок в ориентации спинов и соответственно повышает магнитную энтропию (рис. 4).

В противоположном случае квадрупольной структуры с  $q_0(T) > 0$  спиновые векторы  $S_M$  при  $T = 0$  прилегают максимально близко к оси  $OZ$  – либо параллельно, либо антипараллельно, так что  $Z$  – проекция  $S_{zn}$  равна либо  $S_{zn} = S$ , либо  $S_{zn} = -S$ . Тепловые движения при конечных температурах  $T \neq 0$  вызывают отклонение вектора  $S_M$  от оси  $OZ$  и разупорядочивают квадруполь-

ную структуру, а магнитное поле, приложенное вдоль оси  $OZ$ , напротив, усиливает упорядочение и тем самым понижает энтропию. В нашем случае  $S = 1$  такое происходит в метастабильном состоянии с  $q_{02}(T) > 0$  (рис. 4), т.е. в этом состоянии МКЭ является нормальным.

#### СПИСОК ЛИТЕРАТУРЫ

1. *Anderson P.W.* New approach to the theory of superexchange interactions // *Phys.Rev.* 1959. V. 115. P. 2–11.
2. *Huang N.L., Orbach R.* Biquadratic superexchange // *Phys.Rev.Lett.* 1964. V. 12. P. 275–277.
3. *Kartsev A., Augustin M., Evans R.F.L., Novoselov K.S., Santes E.J.G.* Biquadratic exchange interactions in two-dimensional magnets // *NPJ: Computational Materials.* 2020. 150 p.
4. *Spisak D., Hafner J.* Theory of bilinear and biquadratic exchange interactions in iron: bulk and surface // *JMMM.* 1997. V. 168. P. 257–268.
5. *Chen H.H., Levy P.M.* Quadrupole phase transitions in magnetic solids // *Phys. Rev. Lett.* 1971. V. 27. P. 1383.
6. *Chen H.H., Levy P.M.* Dipole and quadrupole phase transitions in Spin-1 metals // *Phys.Rev.* 1973. V. 7. P. 4267–4284.
7. *Вальков В.В., Мацулева Г.Н., Овчинников С.Г.* Влияние сильного кристаллического поля на спектральные свойства магнетиков с биквадратичным обменом // *ФТТ.* 1989. Т. 31. С. 60–67.
8. *Кокорина Е.Е., Медведев М.В.* Особенности магнитокалорического эффекта вблизи точки фазового перехода II рода в ферромагнетике с биквадратичным обменом // *ФММ.* 2021. Т. 122. С. 675–683.
9. *Кокорина Е.Е., Медведев М.В.* Магнитокалорический эффект при фазовом переходе I рода в ферромагнетике с биквадратичным обменом // *ФММ.* 2021. Т. 122. С. 1125–1134.
10. *Смарт Дж.* Эффективное поле в теории магнетизма. М.: Мир, 1968. 272 с.